

## «ТОНКАЯ» СТРУКТУРА КРАЯ ПОГЛОЩЕНИЯ КРИСТАЛЛОВ ТЕЛЛУРИДА КАДМИЯ

Абдуллаев М. А., Кохановский С. И., Кощуг О. С., Сейсян Р. П.

Первое экспериментальное наблюдение «тонкой» структуры края поглощения монокристаллов CdTe выполнено при 2 К благодаря приготовлению очень тонких ненапряженных образцов для исследования. В спектрах поглощения помимо максимумов основного ( $n_0=1$ ) и возбужденного ( $n_0=2$ ) состояний и ЭПК на фоне континуума присутствуют особенности, связанные с экситон-фононным взаимодействием. Выполненные расчеты энергии связи свободного экситона  $R^*=9.05$  мэВ и глубины вицентрового минимума экситонной зоны  $\Delta_{\text{ex}}=1.08$  мэВ позволяют удовлетворительно описать экситонную серию с краем диссоциации  $\varepsilon_g^0=1606.5$  мэВ. Экспериментально измеренная температурная зависимость полуширин экситонных максимумов  $n_0=1, 2$  показывает, что их температурное уширение связано главным образом со взаимодействием с LO-фононом, характеризуемым константой, более чем на порядок превышающей фрёлиховскую константу электрон-фононного взаимодействия в CdTe. Что же касается экситон-фононного максимума на фоне континуума, то поведение при повышении  $T$  позволяет считать его связанным не с ЭПК, а с непрямыми переходами во вицентровый минимум экситонной зоны с излучением LO-фонона.

Исследование деталей спектра края поглощения кристаллов CdTe препятствует гигантская величина коэффициента поглощения ( $\alpha$ ) в основное состояние экситона  $n_0=1$ . Она более чем на порядок превышает соответствующую величину в Ge или Al<sup>III</sup>B<sup>V</sup> и достигает  $\sim 10^5 \text{ см}^{-1}$ . Поэтому помимо высокого кристаллофизического совершенства материала для исследования необходимо, чтобы при отсутствии заметных механических напряжений толщина образца ( $d$ ) была существенно меньше 1 мкм. Это, по-видимому, и оказалось причиной того, что до сих пор в краевом поглощении CdTe не исследована тонкая структура серии экситонного поглощения, включающая в себя не только состояния экситон-примесных комплексов (ЭПК) и возбужденные состояния свободного экситона, но и основное состояние  $n_0=1$ .

Структура, включающая  $n_0=1$  и  $n_0=2$ , наблюдалась только в спектрах отражения [1] и люминесценции (см., например, [2]). Однако в первом случае точный анализ таких спектров осложнен вращением контура экситонного отражения в зависимости от состояния поверхности, а во втором — поляризационной структурой при чрезвычайной слабости люминесценции через состояния свободного экситона.

В [3] был выполнен теоретический расчет, из которого следует, что закон дисперсии в экситонной зоне  $\varepsilon(K)$  не является монотонным и содержит в наиболее интересной для нас области  $K \approx 0$  довольно протяженный ( $-3.4 < K < 3.4$ )  $\cdot 10^6 \text{ см}^{-1}$  участок отрицательной экситонной массы. В связи с большим значением фрёлиховской константы электрон-фононной связи ( $\alpha_\phi$ ) интересно исследовать проблему существования экситон-фононного комплекса (ЭПК), который был предсказан в работе [4], обсуждался в [5-8] и может проявиться в CdTe главным образом на фоне континуума. Для надежного экспериментального решения этой проблемы также необходимы данные по поглощению.

Экспериментальное исследование края оптического поглощения CdTe было выполнено нами с использованием уникально тонких образцов (толщиной  $d=0.4-0.8$  мкм). Образцы монокристаллов, выращенных в различных отечественных

венных лабораториях,<sup>1</sup> первоначально уточнялись механически до  $10\text{--}20 \mu\text{m}$ , затем до необходимой толщины в полирующем травителе. Для измерений образцы упаковывались в свободном виде (без приклейки) в футляр из покровного стекла и помещались в криостат непосредственно в среду жидкого гелия. Температурная зависимость устанавливалась по спектрам, зарегистрированным при медленном естественном разогреве образца от  $T=2 \text{ K}$ . Использовался дифракционный монохроматор спектрофотометра ДФС-12.

Спектр пропускания, полученный при  $2 \text{ K}$ , приводится на рис. 1. Можно убедиться в том, что, по-видимому, впервые нам удалось наблюдать достаточно подробную «тонкую» структуру края поглощения CdTe, включающую в себя различные ЭПК, основное и возбужденное состояния свободного экситона. Эта часть спектра аналогична ранее наблюдавшимся спектрам GaAs [<sup>9, 10</sup>] и InP [<sup>11</sup>].

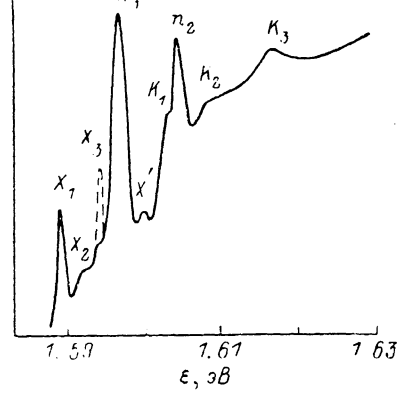


Рис. 1. Спектр края поглощения кристаллов  $p$ -CdTe с  $d \approx 0.38 \text{ мкм}$  при  $2 \text{ K}$ .

Штриховая кривая — изменения, характерные для  $n$ -CdTe (появляется максимум  $X_1$ , исчезает).

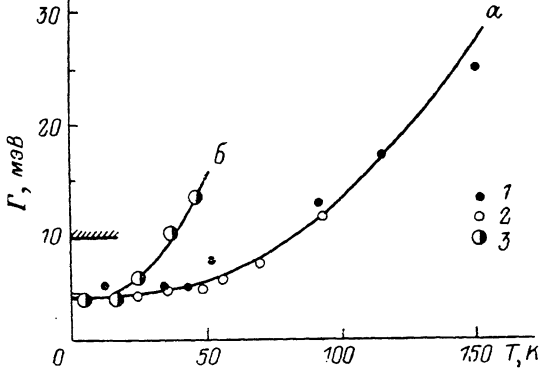


Рис. 2. Зависимость полуширины линии поглощения на основном ( $n_0=1$ ) (а) и первом возбужденном ( $n_0=2$ ) (б) экситонных состояниях CdTe от температуры.

1, 2 — основное (различные образцы), 3 — первое возбужденное состояние.

Необычный вид имеет коротковолновая часть спектра, где на фоне переходов в континuum состояний наблюдается структурированный широкий максимум, наивысшая точка которого приходится на  $1.6165 \text{ эВ}$ , что приблизительно на энергию оптического фонона  $\hbar\Omega_{Lo}$  превышает энергию основного состояния  $n_0=1$  свободного экситона. Для точного сравнения с  $\hbar\Omega_{Lo}$  на этом же материале были получены спектры фотолюминесценции, в которых доминировала узкая линия рекомбинации ЭПК  $A^0X$  при  $1.5884 \text{ эВ}$  с фоновыми повторениями.<sup>2</sup> Расстояние между основной линией и ближайшим повторением составляло  $\hbar\Omega_{Lo}=21.2 \text{ мэВ}$ , что практически совпадает с известными литературными данными [<sup>12</sup>].

Положение основных максимумов и особенностей поглощения в сопоставлении с расчетными данными в соответствии с предлагаемой интерпретацией приводится в таблице. Там же приведены предполагаемые энергии связи состояний, использованные соотношения и исходные параметры.

Применение параметров зон CdTe, рассчитанных по данным циклотронного резонанса [<sup>13</sup>], позволяет достаточно точно оценить по [<sup>14</sup>] энергию связи свободных экситонов:  $R^*=R_0+\Delta\epsilon_d=9.05 \text{ мэВ}$ . Здесь  $R_0$  — изотропная часть энергии связи:  $R_0=(m_c^{*-1}+\gamma_1 m^{-1})^{-1} e^4 / 2\hbar^2 x_0^2$ ;  $\Delta\epsilon_d$  — анизотропная поправка, зависящая от  $\gamma_2$  и  $\gamma_3$ ;  $m_c^*$  — эффективная масса электрона;  $m$  — масса свободного электрона;  $x_0$  — диэлектрическая проницаемость;  $\gamma_1, 2, 3$  — параметры  $v$ -зоны, по Латтинджеру. Для возбужденного состояния соответствующая энергия связи  $R^{*'}=R_0/4+\Delta\epsilon_d'=2.3 \text{ мэВ}$ . Более точна оценка  $\epsilon_g$ , полученная из последнего

<sup>1</sup> Наиболее высококачественные спектры получены на образцах, изготовленных из моноцисталла  $p$ -CdTe, любезно предоставленного И. П. Гавалешко (Черновицкий государственный университет).

<sup>2</sup> Спектры фотолюминесценции получены Д. Р. Строгановым.

Энергетическое положение линий на краю поглощения кристаллов CdTe  
при 2 К и энергии связи состояний

Условное обозначение на рис. 1	Экспериментальное значение энергии, мэВ	Энергия связи, мэВ	Значение энергии в спектрах фотолюминесценции, мэВ	Интерпретационное обозначение	
$X_1$	1589.3	7.2	1588.2, 1589.3*	$A^0 X$	$\epsilon = \epsilon_g - R^* - R_X^{(1)}; R_X^{(1)} = \alpha E_A;$ $E_A = 100, \alpha \approx 0.07$
$X_2$	1591.7	4.8	1591.3	$D^+ X$	$\epsilon = \epsilon_g - E_D - R_X^{(2)}; R_X^{(2)} = \beta E_D;$ $E_D = 13, \beta \approx 0.37$
$X_3$	1594.4	2.1	1592.9	$D^0 X$	$\epsilon = \epsilon_g - R^* - R_X^{(3)}; R_X^{(3)} = \gamma E_D;$ $E_D = 13, \gamma \approx 0.16$
$n_1$	1596.5	9.05**	1594.5, 1596.7	Свободный экзитон, $n_0=1$	$\Delta_{\text{обн}} = -0.08, \Delta \epsilon_x = 1.08,$ $R_{\text{теор}}^* = 9.05$
$X'$	1600.2	—	—	$(D^0 X)'?$	Слабая, растет с понижением $T$
$K_1$	1603.1	1.4	—	$LA, X?$	$\epsilon = \epsilon_{n=1} + \hbar \Omega_{LA}^m - R_k^{(1)}; \hbar \Omega_{LA}^m = 8 [12], \text{ слабая}$
$n_2$	1604.2	2.3**	1604.5	Свободный экзитон, $n_0=2$	$R_{\text{теор}}^* = 2, 3$
$n_\infty$	1606.5	0	—	—	$\epsilon_g = \epsilon_{n=2} + R_{\text{теор}}^*, \text{ в спектрах не выражена}$
$K_2$	1607.9	1.6	—	$TA, X?$	$\epsilon = \epsilon_{n=1} + \hbar \Omega_{TA}^m - R_k^{(2)}; \hbar \Omega_{TA}^m = 13 [12], \text{ слабая}$
$K_3$	1616.5	1.2	—	$LO, X$	$\epsilon = \epsilon_{n=1} + \hbar \Omega_{LA}^m - R_k^{(3)}; \hbar \Omega_{LA}^m = 21.2$

Примечание. \* Дублетная структура со слабым коротковолновым максимумом. \*\* Теоретические значения;  $E_A$  оценивается по положению длинноволнового максимума люминесценции;  $E_D$  — энергия ионизации водородоподобного донора,  $E_D = e^4 m_e^* / 2 \pi^2 \hbar^3$ . В расчетах использованы параметры CdTe из [13]:  $m_e^* = 0.088 m_e$ ,  $\gamma_1 = 5.3$ ,  $\gamma_2 = 1.7$ ,  $\gamma_3 = 2.0$ .

соотношения, так как здесь менее заметно искажающее влияние таких факторов, как обменное взаимодействие или немонотонный характер зависимости  $\epsilon(K)$ . Отсюда следует, что  $\epsilon_g(0) = 1606.5 \pm 0.3$  мэВ.

Важной особенностью наблюдаемого спектра является наличие серии линий, обозначенных  $K_1, 2, 3$ . Доминирующая линия  $K_3$  могла бы принадлежать ЭФК с  $LO$ -фононом. Экспериментальная энергия связи такого комплекса, согласно нашим данным, составляет  $R_X^{(3)} = 1.2 \pm 0.1$  мэВ и близка к предсказываемой теорией [4, 8]. Того же порядка могли бы оказаться экспериментальные энергии связи  $R_X^{(1, 2)}$ , если было бы возможно образовать ЭФК акустическими  $LA$  и  $TA$ -фононами с максимальной энергией. Интересна другая возможность, сводящаяся к непрямому переходу с излучением фона на внекентровый минимум экзитонной зоны. Расчет в соответствии с [3] дает глубину внекентровых минимумов экзитонной зоны  $\Delta \epsilon_x = 1.08$  мэВ, что практически совпадает с полученными «энергиями связи». Температурная зависимость вида спектра и полуширины линий (рис. 2) показывает, что уширение линий связано в основном с взаимодействием с  $LO$ -фононом и для  $n_0=1$  происходит пропорционально увеличению их числа заполнения  $\Gamma = \Gamma_0 + \alpha^* \hbar \Omega_{LO} N_q$ , где  $N_q = [\exp(\hbar \Omega_{LO}/kT) - 1]^{-1}$ ; при этом  $\alpha^*$  оказывается существенно больше фрёлиховской константы для электрон-фононного ( $\alpha_\phi = 0.36$ ) или фонон-дырочного взаимодействия и составляет  $\sim 4.5$ . Эта величина также значительно выше, чем в InP, где, несмотря на вдвое меньшую энергию связи, основное состояние наблюдается вплоть до 300 К. Линия  $K_3$  исчезает одновременно с основным состоянием  $n_0=1$ , что можно рассматривать как аргумент в пользу перехода в несвязанное состояние. Интересно, что при  $T \geq 20$  К с коротковолновой стороны линии  $n_0=1$  наблюдаются дополнительные уширение и структура, совпадающая по условиям появления с резким изменением характера осциллирующих спектров возбуждения люминесценции [2].

## Список литературы

- [1] Marple D. T. F. // Phys. Rev. 1966. V. 150. N 2. P. 728—734.
- [2] Hiesinger P., Suga S., Willmann F., Draybrodt W. // Phys. St. Sol. (b). 1975. V. 67. N 2. P. 641—652.
- [3] Efros Al. L., Gelmont B. L. // Sol. St. Commun. 1984. V. 49. N 9. P. 883—884.
- [4] Toyozawa Y. // Proc. III Int. Conf. Photoconductivity. Stanford, 1969. P. 151—157.
- [5] Dillinger I., Koňak Č., Prosser V., Sak I., Švara M. // Phys. St. Sol. 1968. V. 29. N 2. P. 707—715.
- [6] Levinson Y. B., Rashba E. I. // Rep. Progr. Phys. 1973. V. 39. N 12. P. 1499—1566.
- [7] Георгобиани А. Н., Озеров Ю. В., Тигинаян И. М. // Тр. ФИ АН СССР. М., 1985. Т. 163. С. 3—39.
- [8] Hermanson I. // Phys. Rev. B. 1970. V. 2. N 12. P. 5043—5051.
- [9] Сейсян Р. П., Абдуллаев М. А., Захарченя Б. Н. // ФТП. 1972. Т. 6. В. 2. С. 408—410.
- [10] Сейсян Р. П., Абдуллаев М. А. // ФТП. 1973. Т. 7. В. 4. С. 811—815.
- [11] Абдуллаев М. А., Кохановский С. И., Макушенко Ю. М., Сейсян Р. П. // ФТП. 1989. Т. 23. В. 7. С. 1156—1159.
- [12] Физика и химия соединений  $A^2B^6$  // Под ред. С. А. Медведева. М., 1970. 620 с.
- [13] Le Si Dang, Nan G., Romestain R. // Sol. St. Commun. 1982. V. 44. N 8. P. 1187—1190.
- [14] Baldereschi A., Lipari N. O. // Phys. Rev. B. 1971. V. 3. N 2. P. 439—451.

Физико-технический институт  
им. А. Ф. Иоффе АН СССР  
Ленинград

Получена 6.10.1988  
Принята к печати 26.01.1989